



"مقاله پژوهشی"

تعیین الگوی کشت بهینه در حوضه آبریز تجن با استفاده از مدل سازی سیستمی

سیده فاطمه هاشمی<sup>۱</sup>، علی شاهنظری<sup>۲</sup>، محمود رایینی<sup>۳</sup>، محمدرضا شهبازبگیان<sup>۴</sup> و یان فرانکلین آداموسکی<sup>۵</sup>

- ۱- دانشجوی دکتری آبیاری و زهکشی، دانشگاه علوم کشاورزی و منابع طبیعی ساری  
۲- استاد گروه مهندسی آب، دانشگاه علوم کشاورزی و منابع طبیعی ساری (نویسنده مسوول: Alipoh@yahoo.com)  
۳- استاد گروه مهندسی آب، دانشگاه علوم کشاورزی و منابع طبیعی ساری  
۴- استادیار گروه آمایش سرزمین و برنامه ریز جغرافیایی دانشگاه تربیت مدرس  
۵- دانشیار گروه مهندسی انرژی، دانشگاه مگیل کانادا  
تاریخ ارسال: ۹۸/۰۷/۳۰ تاریخ پذیرش: ۹۸/۱۰/۰۳  
صفحه: ۱۵۵ تا ۱۶۸

چکیده

از آنجا که در تخصیص بهینه منابع آب، حداکثرسازی درآمد، عمده ترین هدف مدل سازی است، پژوهش هایی که تاکنون در ارتباط با تخصیص منابع آب منتشر شده است، به مفاهیمی که مبتنی بر ساختار و روابط خطی مدل ذهنی است، معطوف بوده یا عدم تخصیص عادلانه آب را سبب می شود. همچنین بررسی این پژوهش ها نشان می دهد آگاهی کمی نسبت به رفتار دینامیکی طولانی مدت حوضه های رودخانه وجود دارد. لذا در این مطالعه، به بررسی الگوی بهینه کشت بر اساس تخصیص منابع و مصارف در حوضه آبریز تجن با استفاده از مدل SD در بازه زمانی ماهانه در طی سال های ۹۴-۱۳۴۲ با در نظر گرفتن نیاز شرب، صنعت، زیست محیطی و کشاورزی، پرداخته شده است. الگوی کشت به دست آمده مبنایی برای محاسبات میزان بهره وری مصرف آب در حوضه آبریز تجن می باشد. نتایج حاصل از واسنجی نشان داد که اگرچه میزان حجم آب خروجی از مخزن وابسته به حجم تقاضا بوده، اما ضریب اصلاحی مخزن مستقل از ضریب اصلاحی نیاز کشاورزی می باشد. همچنین نتایج نشان داد که بخش اعظم نیاز شرب، صنعت و زیست محیطی در منطقه تامین شده و مخازن در حوضه آبریز تجن برای تامین این نیازها موفق عمل کرده اند. اما کمبودهای قابل ملاحظه ای در بخش کشاورزی وجود دارد که با توجه به حجم اندک آب زیرزمینی در این حوضه، لزوم تغییر الگوی کشت، اجتناب ناپذیر خواهد بود. بررسی الگوی کشت بهینه نیز نشان داد که سیاه ریشه با بالاترین نسبت درآمد به هزینه، در تمامی مناطق بیشترین سطح زیر کشت را به خود اختصاص داده است و بعد از آن مرکبات و ذرت دانه ای سطح زیر کشت غالب مناطق شناخته شده است.

واژه های کلیدی: تخصیص منابع و مصارف، بهینه سازی غیرخطی، حوضه آبریز تجن، درآمد به هزینه، مدل VENSIM

مقدمه

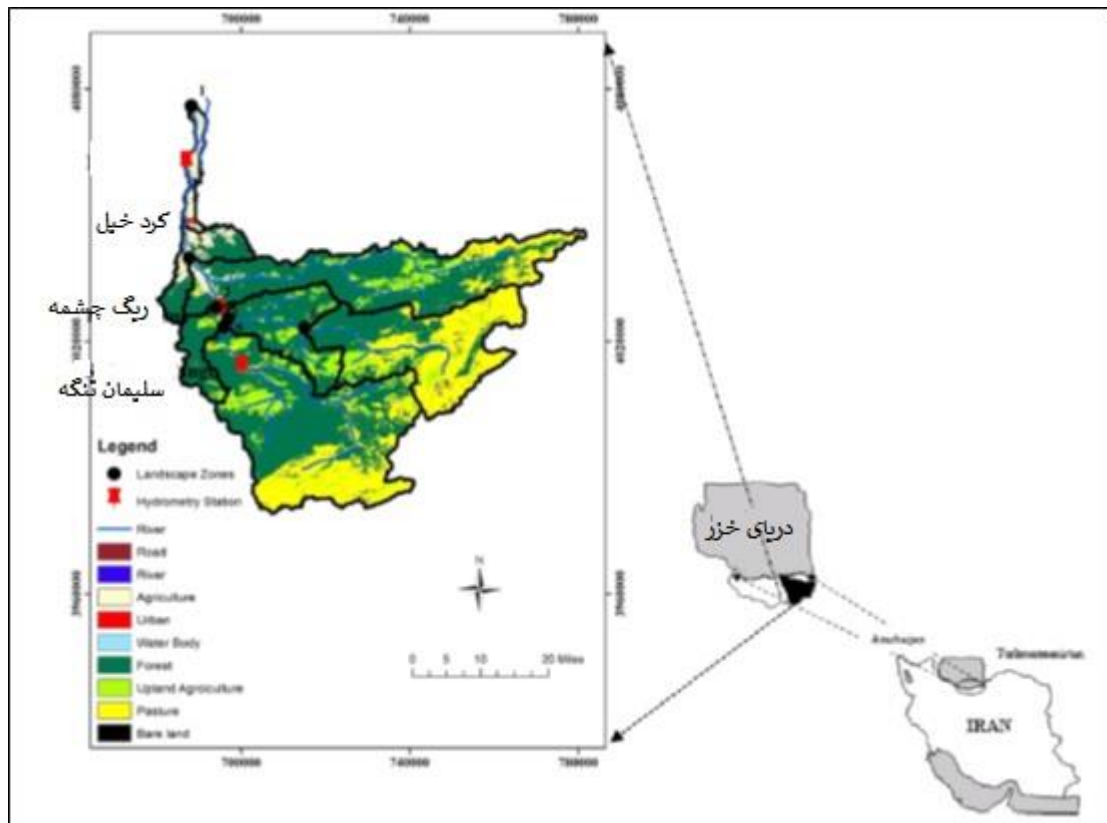
برای طراحی استراتژی های منابع آب در مرکز کره جنوبی باشد. از آنجا که در تخصیص بهینه منابع آب، حداکثرسازی درآمد، عمده ترین هدف مدل سازی است، شبیه سازی دقیق میزان منابع و مصارف و برآورد بیان آب در منطقه، بسیار تعیین کننده خواهد بود. با توجه به تعاریف متعدد الگوی کشت که تنها به بررسی خصوصیات نظیر تناوب زراعی یا ترکیب کشت اشاره می نماید (۱۴)، روش های مختلفی مبنای مطالعات قرار گرفته است که عمده این تحقیقات بر پایه روش های خطی (LP) و غیرخطی (NLP) با هدف به حداکثر یا حداقل رساندن تابع هدف با فرض محدودیت ها (منابع در دسترس) و متغیرهای تصمیم (فعالیت ها) می باشد (۱۵). برخی از این تحقیقات بر پایه روابط شبیه سازی عملکرد محصولات FAO می باشد که با هدف بهینه سازی تخصیص آب، الگوی کشت در سطح یک شبکه و حداکثرسازی درآمد به هزینه بوده (۱۷ و ۱۸) و بخشی دیگر به توزیع بهینه آب در روش های کم آبیاری (۲۳) و بهینه سازی عملکرد مخزن سد و توزیع بهینه آب آبیاری اختصاص دارد (۲۲). بر همین اساس و با توجه به اینکه آگاهی کمی نسبت به رفتار دینامیکی طولانی مدت حوضه های رودخانه وجود دارد و علاوه بر آن، بیشتر مدل های SD در این مقیاس غالباً در اروپا، شمال امریکا و استرالیا انجام شده (۹)، در این مطالعه، به بررسی تخصیص منابع و مصارف در حوضه آبریز تجن با استفاده از

دینامیک سیستم ها (SD) شاخه ای از تفکر سیستمی است که برای مطالعه رفتار دینامیکی طولانی مدت در سیستم های پیچیده و سیستم های بازخوردی غیرخطی مورد استفاده قرار گرفته (۳) و می تواند با در نظر گرفتن اثرات مضاعف، غیرمستقیم یا غیرخطی سایر بخش های سیستم (۱۹)، که معمولاً در شرایط استفاده از مدل های ذهنی تحلیل تصمیم (۳) وجود ندارد، استراتژی های مختلف رویکرد چندگانه زیرسیستم های منابع آب را شبیه سازی نماید (۹). این مدل سازی مستلزم پیوند تعدادی از این فرایندها است که مبتنی بر روابط علی - معلولی بوده و سیستم های محیط زیستی - انسانی پیچیده و مسائل پایدار استراتژیکی را توسعه می دهد. در چند دهه گذشته، مطالعات گسترده ای در خصوص رویکرد SD به منظور توسعه پویایی سیستم و مدل های شبیه سازی در حوضه های مختلف آبریز در سرتاسر دنیا انجام شده است (۲، ۱۰، ۱۲ و ۲۳). پاره ای از این تحقیقات مدل سازی توصیفی یکپارچه که با رویکرد SD الحاق شده است را مورد بررسی قرار می دهد و بخش دیگری از آن حول الحاق این رویکرد با مدل های فیزیکی می باشد (۷ و ۸). در زمینه توسعه مدل اجتماعی - هیدرولوژیکی برای استفاده مجدد از هرز آب کشاورزی Jeong and Adamowski (۸)، به این نتیجه رسیدند که این مدل می تواند چارچوبی مطلوب

## مواد و روش ها منطقه مورد مطالعه

حوضه آبریز تجن (شکل ۱) با مساحت تقریبی ۴۰۰۵/۲۲ کیلومتر مربع که ۳۹۸۰/۷۵ کیلومتر مربع آن در داخل استان قرار گرفته، در محدوده‌ای با مختصات جغرافیایی ۱۰°-۵۲° تا ۴۵°-۵۶° طول شرقی و ۴۵°-۳۵° تا ۰۰°-۳۸° عرض شمالی قرار دارد. رود تجن که بزرگترین رود در این محدوده است، با شیب زهکشی ۲۸/۵٪ از رشته کوه البرز سرچشمه گرفته که دارای سرشاخه‌های متعددی از جمله ورن، رودخانه سفید، زارم رود، شیرین رود، لاجیم و گرم رود بوده که با پیوستن این انشعابات به پیکره اصلی تجن، آورد اصلی رودخانه تجن شکل می‌گیرد. سد شهید رجایی در بالادست رود تجن با ظرفیت ۱۶۱ میلیون مترمکعب احداث شده، از سویی دیگر بر رودخانه‌های زارم و ورن دو سد فینسک به ظرفیت ۱۲ میلیون مترمکعب و زارم به ظرفیت ۸۳ میلیون مترمکعب ساخته شده است. در پایین دست رودخانه تجن، بند انحرافی تجن با ظرفیت آبیگری ۳۸ مترمکعب بر ثانیه احداث شده که قابلیت تنظیم برای کلیه دبی‌های مورد نیاز را داراست.

مدل SD پرداخته شده است. از بین مدل‌های تحلیل پویا در طرح جامع مدیریت منابع آب کشور در سال ۱۳۸۸ تاکید زیادی بر برنامه VENSIM وجود دارد. همچنین شبکه آبیاری و زهکشی تجن که در این حوضه آبریز احداث شده، با تاکید بر مشارکت کشاورزان در امر بهره‌برداری و نگهداری از یک سو و از سویی دیگر توسعه و بهبود کشاورزی با استفاده بهتر و مفیدتر از پتانسیل‌های منابع آب و خاک حوضه آبریز تجن سازماندهی شده است (۲۱). به همین دلیل در این پژوهش، ابتدا تخصیص منابع و مصارف در حوضه آبریز تجن در شرایط موجود و استفاده تلفیقی از منابع آب در بازه زمانی ۵۲ ساله بین سال‌های ۹۴-۱۳۴۲ با استفاده از مدل VENSIM شبیه‌سازی می‌شود. با در نظر گرفتن نیاز شرب، صنعت، زیست‌محیطی و کشاورزی، بیلان منابع آب تعیین شده و با ارزیابی کمبودهای احتمالی در حوضه آبریز، سناریوهای مدیریتی محتمل طرح‌ریزی می‌شود. در تمامی موارد بالا، اصل تفکیک الگوی کشت در منطقه مورد توجه قرار خواهد گرفت. در مرحله آخر با ارزیابی نتایج بیلان آب و معیارهای پایداری، الگوی کشت بهینه با هدف حداکثر درآمد به هزینه، پیشنهاد می‌شود.



شکل ۱- جغرافیایی از حوضه آبریز مورد مطالعه (حوضه آبریز تجن)  
Figure 1. The location of case study watershed (Tajan watershed)

بخش تقسیم شد که بر اساس مرزهای تعریف شده هر بخش، مصارف و منابع با در نظر گرفتن تمامی فرضیه‌های پویا به طور تفکیکی به مدل شبیه‌سازی وارد گردید: ۱- سد فینسک برای نیاز شرب، کشاورزی و زیست‌محیطی، ۲- سد شهید رجایی

شبیه‌سازی تخصیص منابع آب حوضه آبریز تجن با استفاده از تحلیل سیستمی  
با توجه به وسعت محدوده مورد مطالعه و سازه‌های موجود و در نظر گرفتن تقاضاها و منابع، حوضه آبریز تجن نیز به ۴



حجم مربوط به تامین و خروجی از سد بر حسب میلیون مترمکعب است.

(رابطه ۳)

Supply (نیاز)، demand (خروجی)، MIN(outflow) = (تامین)

### کشاورزی نیاز آبی کشاورزی

به منظور محاسبه تبخیر - تعرق گیاهی در برآورد نیاز آبی کشاورزی، از رابطه ۴ استفاده شد که در آن  $K_c$  ضریب رشد گیاهی است. مقادیر  $K_c$  محصولات مختلف از مقادیر پیشنهادی Allen و همکاران (۱) گرفته شده و به مقادیر ماهانه ۵۲ ساله که از الگوی کشت گیاهی در طی فصل رویش برداشت شده است، تبدیل می شود. از سویی دیگر، بارش موثر  $P_{eff}$  از روش تجربی پیشنهادی FAO که در رابطه ۵ ارایه شده است، به دست آمد. فصل زراعی از ماه فروردین شروع شده و برای بیشتر محصولات در شهریور خاتمه می پذیرد. داده های محصولات شامل تراکم کشت، نیاز آبی خالص و ناخالص و راندمان است.

(رابطه ۴)

$$ET_c = k_c * ET_0$$

(رابطه ۵)

$$ET_c - P_{eff} / \text{Efficiency} = \text{Gross requirement}$$

### عملکرد محصول

برای محاسبه عملکرد سالانه محصول، از رابطه ۶ استفاده شد (۴) که در آن  $Y$  و  $Y_{max}$  به ترتیب عملکرد واقعی و  $ET_{max}$  تبخیر - تعرق واقعی و حداکثر تبخیر - تعرق،  $\lambda_i$  فاکتور حساسیت نسبی گیاه به کمبود آب در مرحله رشد  $i$  ام (بی بعد) و  $n$  تعداد مراحل رشد گیاه و  $\frac{Y_{ai}}{Y_{pi}}$  میزان نسبی عملکرد در هر مرحله از کشت می باشند. بایستی به این مسئله اشاره نمود که استفاده از رابطه بالا مستلزم این است که آب از کیفیت قابل قبولی برخوردار بوده و سایر خصوصیات فیزیولوژی گیاه ثابت هستند (۷).

(رابطه ۶)

$$1 - \frac{Y}{Y_{max}} = K_Y \left( 1 - \frac{ET}{ET_{max}} \right)$$

### اجتماعی - صنعتی

نیاز صنعت و شرب که در روابط به صورت  $dd(t)$  بر حسب میلیون متر مکعب در ماه (MCM/month) نشان داده شده است، با استفاده از نیاز آبی صنعت و شرب به ازای هر فرد  $d(pc)d$  و جمعیت  $p(t)$  قابل تخمین است (رابطه ۷). همینطور برای محاسبه نیاز زیست محیطی، از روش مونتانا (۲۵) استفاده شد که در آن حداقل جریانی که بایستی در مسیلهای رودخانه ای به منظور حفظ حیات موجودات آبی وجود داشته باشد، محاسبه می گردد. بدین ترتیب که بعد از محاسبه جریانات سالانه میانگین در حوضه آبریز تجن، ۴۵٪ آن به عنوان جریانی که قابلیت حفاظت از موجودات آبی را در شرایط طبیعی رودخانه ای حفظ نماید محاسبه شد (۲۱).

(رابطه ۷)

$$D_d(t) = d_d^{pc} * p(t)$$

### اقتصادی طراحی سناریو

در حوضه آبریز تجن، عمده ترین نیاز، تامین تقاضای کشاورزی در منطقه است و هر گونه تغییری در این بخش

که مستلزم در نظر گرفتن تقاضای صنعتی - اجتماعی است. روش کار به این ترتیب است که ابتدا تخصیص یکپارچه منابع آب و خاک حوضه آبریز تجن در بخش های کشاورزی و هیدرولوژیکی بررسی می شود. در قدم بعدی با توجه به شبیه سازی تامین به تقاضاهای کشاورزی، سناریوهای مدیریتی با هدف کسب حداکثر سودآوری در بخش اقتصادی، مورد ارزیابی قرار گرفته و در نهایت در بخش صنعتی - اجتماعی به بررسی چگونگی تامین نیازهای شرب، صنعت و بهداشت پرداخته شده است.

### بخش هیدرولوژیکی

#### مخازن اصلی

سد شهید رجایی، فینسک و زارم که به ترتیب بر شاخه اصلی رودخانه تجن، چهاردانگه و زارم رود احداث شده، با ذخیره آب در فصل غیر زراعی و رهاسازی آن در فصل زراعی، براساس تابعی از زمان در مدل تعریف می شود. بدین ترتیب که منحنی حجم، سطح ارتفاع و همچنین سری زمانی ماهانه خصوصیات تراز آب مخزن و میزان تبخیر از سطح دریاچه سد، استخراج شد و بر اساس روابط تعریف شده در مدل، به مدل وارد شد. نحوه شبیه سازی ریاضی آب بندها نیز مشابه با مخازن در نظر گرفته شده است. با توجه به نمودار علی - معلولی حوضه آبریز تجن (شکل ۲)، بیلان وزنی برای تخمین میزان ذخیره مخازن در روابط یک توسعه داده شده که در ادامه به مدل شبیه سازی تحلیل سیستم دینامیک وارد شد. تمامی احجام ذکر شده در رابطه یک، بر حسب میلیون مترمکعب در ماه است (۴ و ۲۴).

(رابطه ۱)

Reservoir (حجم ذخیره مخزن) =

outflow - (تبخیر) - evaporation - (حجم ورودی) Inflow

(رلهاسازی) spill - (حجم خروجی)

### بخش آب زیرزمینی

از آنجایی که تنها در بالادست بند انحرافی تجن، حجم ذخیره و کیفیت آبخوان آب زیرزمینی مطلوب بوده و محدودیتی در استفاده از آن وجود ندارد، ابتدا بایستی تقاضاهای این محدوده توسط آب سطحی و آب بندها، تامین شده و با محاسبه میزان کمبودها، نیازهای باقیمانده با استفاده از رابطه ۲ تامین یابد. این احجام در رابطه زیر بر حسب میلیون مترمکعب در ماه می باشد.

(رابطه ۲)

MIN(supply, Groundwater storage

(حجم ذخیره آبخوان)

### تخصیص آب

تخصیص آب در حوضه آبریز تجن مبتنی بر تامین نیازهای شرب، صنعت، زیست محیطی و کشاورزی به ترتیب اولویت تامین و بر حسب میلیون مترمکعب در ماه است. بدین ترتیب روابط ریاضی مطابق اولویت تامین استخراج و به مدل VENSIM وارد گردید. همچنین در مواردی نظیر سد فینسک که تامین تقاضای خارج از حوضه آبریز تجن مطرح هست، بایستی الزامات مربوط به تخصیص نیازهای قبل از سد لحاظ گردد که در رابطه ۳ آورده شده است. در این رابطه

هزینه‌ها استخراج و به مدل بهینه‌سازی وارد شد. در جدول یک اولویت تخصیص منابع آب هر یک از مناطق بالادست سدها به‌همراه الگوی کشت فعلی و سطح زیر کشت آورده شده است. الگوی کشت به‌ترتیب نزولی اولویت تامین مرتب شده است. بدین‌صورت که مرکبات و سیاه‌ریشه به‌ترتیب اولویت اول و دوم را دارا بوده و سایر محصولات اولویت‌های بعدی (اولویت هفتم برای گندم در بالادست بند انحرافی تجن و فینسک، اولویت چهارم برای دانه‌های روغنی در بالادست زارم و اولویت ششم برای گندم در بالادست سد شهید رجایی) را تحت پوشش قرار می‌دهند. برای نمونه، در بالادست فینسک برای گیاه مرکبات ابتدا به‌طور کامل و براساس نیاز آبی گیاه، نیاز تامین شده و سیاه‌ریشه جایگاه دوم اولویت تامین را دارد که بعد از گیاه مرکبات آبیاری خواهد شد. سایر گیاهان از اولویت‌های پایین‌تری برخوردارند. ذکر این نکته لازم است که در بالادست بند انحرافی تجن تنها مرکبات کشت می‌شده است. همچنین بایستی توجه نمود که برخی از محصولات نظیر حبوبات و دانه‌های روغنی، ارزش یکسانی برای آب منطقه‌ای دارند و از همین‌رو اولویت یکسانی برای آنها در نظر گرفته شده است.

می‌تواند بر میزان آب در دسترس موثر باشد. آنچه مبنای مطالعات در این محدوده را ممکن ساخته است، در نظر گرفتن اولویت تخصیص منابع آب به هر محصول است. لذا در پژوهش حاضر، فرض شده است که معیار اولویت تخصیص براساس سودآوری بیشتر آب منطقه‌ای است و از آنجاییکه در حوضه آبریز تجن، شبکه مورد استفاده آبیاری از نوع مدرن است، براساس قانون تثبیت آب‌بهای زراعی مصوبه سال ۱۳۶۹ و آیین‌نامه اجرایی آن، آب‌بهای دریافتی از کشاورزان بر حسب درصدی از ارزش محصول کشت شده می‌باشد. به استناد این قانون متوسط آب‌بهای آب تنظیم‌شده در شبکه‌های مدرن معادل ۳ درصد ارزش محصول تولیدشده می‌باشد. البته باید توجه داشت که در تمام مراحل اجرای پژوهش، ارزش اقتصادی آب بدون اضافه‌شدن خدمات مربوط به ذخیره‌سازی یا استحصال، انتقال و توزیع، اندازه‌گیری و پالایش تخمین مورد توجه قرار گرفته است. بر همین اساس و با توجه به ۴ منطقه تفکیک‌شده نیاز آبی به تفکیک الگوی کشت هر منطقه و براساس اولویت تامین برآورد شد و به مدل وارد گردید. بعد از آنکه میزان حجم سالانه تخصیص در بخش کشاورزی برای هر محصول مشخص شد، توابع هدف برای بیشینه‌کردن میزان محصول و درآمد و کمینه‌کردن

جدول ۱- الگوی کشت فعلی محصولات حوضه آبریز تجن به ترتیب نزولی اولویت تامین

Table 1. Present cropping pattern in Tajan watershed Descending order of supply priority

| سطح زیر کشت بالادست (ha) |          |               |                 | الگوی کشت      |
|--------------------------|----------|---------------|-----------------|----------------|
| سد زارم                  | سد فینسک | سد شهید رجایی | بند انحرافی تجن |                |
| -                        | ۹۶       | ۳۹            | ۱۲۹۴۰           | مرکبات         |
| ۹۷۳                      | ۲۷۵۳     | ۵۰۱           | ۶۴۰۲۶           | سیاه ریشه      |
| ۱۶۰                      | ۱۹۰۷     | ۱۰۶۰          | ۲۱۹۶۱           | شالی           |
| ۱/۷                      | ۲۷۸۳     | ۳/۵           | ۲۳/۵            | جالیز          |
| -                        | ۱        | -             | ۳۶۹             | ذرت دانه ای    |
| -                        | ۶/۱      | -             | ۸/۵             | حبوبات         |
| ۴۱۵۷                     | ۱۳       | ۰/۳           | ۴۳۵             | دانه های روغنی |
| -                        | ۹۰۱      | ۰/۸           | ۱۷۱۰            | گندم           |

مساحت زیر کشت هر محصول محاسبه گردید. تابع هدفی که مبنای تغییر الگوی کشت در نظر گرفته شده مطابق با رابطه ۱۰-۸ می‌باشد:

(رابطه ۸)

$$Max Z_i = \sum C_i \text{ income} / \text{cost}$$

(رابطه ۹)

$$Incomc = \sum C_c (Y_c \times A_c \times P)$$

(رابطه ۱۰)

$$Costc = \sum PC \times A_c$$

به‌منظور تغییر الگوی کشت منطقه، سه دسته محدودیت در نظر گرفته شد: محدودیت یک مربوط به سطح زیر کشت محصولات است که مجموع سطح زیر کشت همه محصولات از مساحت کل حوضه آبریز بیشتر نشود. در محدودیت ۲ آب مورد نیاز محصولات کشت‌شده از میزان حجم آب تخصیص‌یافته هر سد فزونی نیابد و در آخر محدودیت تغییر

### الگوی کشت بهینه

LINGO ابزاری قدرتمند در جهت بهینه‌سازی خطی و غیر خطی، به منظور تجزیه و تحلیل مدل‌های فرموله شده است که از قدرت بهینه‌سازی خطی و غیر خطی آن برای مسایل بزرگ استفاده شده تا بتوان جوابها را مورد تجزیه و تحلیل نمود (۱۵). در این پژوهش از محیط مدل VENSIM PLE استفاده شده که فاقد ابزار بهینه‌سازی است. در نسخه VENSIM DSS بهینه‌سازی با Powell انجام می‌شود که از جمله محدودیت‌های این روش، احتمال قرارگرفتن در کمینه موضعی (۱۶) بوده که مبنای تحقیقات مختلفی قرار گرفته است بدین ترتیب این روش با سایر روش‌های بهینه‌سازی غیرخطی مورد مقایسه قرار گرفته است. بررسی نتایج نشان داد که اختلاف معناداری بین سایر روش‌های بهینه‌سازی غیرخطی و روش Powell وجود ندارد (۱۶). با استفاده از داده‌های گردآوری شده توسط نرم افزار Lingo میزان درآمد بیشینه با توجه به میزان آب آبیاری و مساحت زمین کشاورزی،

ریال،  $Y_c$  عملکرد محصولات بر حسب کیلوگرم در هکتار،  $A_c$  مساحت هر محصول بر حسب هکتار،  $PC$  قیمت تمام شده هر محصول بر حسب ریال بر کیلوگرم،  $TA$  کل سطح زیر کشت هر منطقه تفکیک شده بر حسب هکتار،  $WS$  آب مورد نیاز برای آبیاری هر محصول بر حسب متر،  $TWS$  کل آب سطحی موجود بر حسب متر می باشد.

### شبیه سازی رفتاری دینامیکی حوضه آبریز تجن با استفاده از مدل VENSIM داده های ورودی مدل

در این پژوهش از محیط مدل VENSIM PLE استفاده شده است. براساس جدول ۲ پارامترهای ورودی بر حسب بازه زمانی ماهانه به مدل وارد شد. داده های ماهانه آب و هوا در بین سال های ۱۳۴۲ تا ۱۳۹۴ که مشتمل بر داده های بارش، حداقل و حداکثر دما، رطوبت نسبی، سرعت میانگین باد و تابش خورشیدی است از ایستگاه هواشناسی دشت ناز که به فاصله ۱۵ کیلومتر از محدوده مورد مطالعه است، برداشت شد. سپس الگوی تخصیص منابع آب به هر بخش از حوضه آبریز با توجه به فرضیات پویا که دربرگیرنده قوانین رهاسازی از سدها، آب بندان و آب زیرزمینی در طی دوره زمانی مفروض توسط مدل VENSIM شبیه سازی شد تا بتوان کمبودهای احتمالی را برآورد نمود. سایر پارامترهای موجود نیز در جدول ۲ به طور خلاصه آورده شده است.

الگوی کشت باغی به زراعی است. درختان میوه در محدوده مورد مطالعه که شامل درختان سیاه ریشه و مرکبات است، عمری نسبتاً طولانی برای بهره‌وری اقتصادی داشته و لذا به منظور جلوگیری از انحراف الگوی کشت به سمت زراعی که منجر به از بین درختان میوه شده و از سوئی دیگر آماده سازی مزارع باغی به زراعی مستلزم هزینه های مازادی است که در این تحلیل اقتصادی به آن پرداخته نمی شود، حداقل سطح زیر کشت را برای مزارع باغی در نظر گرفته تا با حفظ سطح موجود، بهینه سازی الگوی کشت انجام گردد. این حدود به شکل فرمول هایی که تابعی از متغیرهای مدل می باشند بیان شده و به عنوان محدودیت ها شناخته می شوند که در روابط ۱۳-۱۱ آورده شده است.

$$\text{(رابطه ۱۱)}$$

$$St: \sum_c A_c \leq \sum TA$$

$$\text{(رابطه ۱۲)}$$

$$\sum_c \{(WS) \times A_c\} \leq TWS$$

$$\text{(رابطه ۱۳)}$$

$$A_{orchrds} \geq A_{orchard}$$

$Z_i$  تابع درآمد به هزینه،  $C$  محصولات موجود در الگوی کشت،  $Income_c$  درآمد حاصل از محصولات بر حسب ریال،  $Cost_c$  کل هزینه های صرف شده برای محصولات بر حسب

جدول ۲- فهرست پارامترهای مورد استفاده در حوضه آبریز تجن

Table 2. List of Parameters in Tajan watershed

| مقادیر | پارامترها   |
|--------|---|
| ۱۳۸    | ارتفاع تاج سد شهید رجایی (متر)                              |
| ۵۹     | ارتفاع تاج سد فیسنک (متر)                                   |
| ۷۸     | ارتفاع تاج سد زارم (متر)                                    |
| ۱۵۳    | کنترل سیلابی سد شهید رجایی (متر)                            |
| ۹/۵۲   | کنترل سیلابی سد فیسنک (متر)                                 |
| ۶۰     | کنترل سیلابی سد زارم (متر)                                  |
| ۹۲     | کنترل سیلابی آب بندان (متر)                                 |
| ۱۶۲    | حداکثر حجم ذخیره سد شهید رجایی (میلیون متر مکعب)            |
| ۱۱/۸   | حداکثر حجم ذخیره سد فیسنک (میلیون متر مکعب)                 |
| ۸۲/۳۳  | حداکثر حجم ذخیره سد زارم (میلیون متر مکعب)                  |
| ۱۰۲    | حداکثر حجم ذخیره آب بندان (میلیون متر مکعب)                 |
| ۱۷/۱۲  | حداقل حجم ذخیره سد شهید رجایی (میلیون متر مکعب)             |
| ۲/۲۷   | حداقل حجم ذخیره سد فیسنک (میلیون متر مکعب)                  |
| ۱۳     | حداقل حجم ذخیره سد زارم (میلیون متر مکعب)                   |
| ۲۵/۶   | حداقل حجم ذخیره آب بندان (میلیون متر مکعب)                  |
| ۰/۹    | تبخیر از سطح دریاچه مخازن (متر)                             |
| ۲۳۱    | نیاز زیست محیطی - بالادست سد شهید رجایی (میلیون متر مکعب)   |
| ۱۴۱    | نیاز زیست محیطی - بالادست سد فیسنک (میلیون متر مکعب)        |
| ۳۲     | نیاز زیست محیطی - بالادست سد زارم (میلیون متر مکعب)         |
| ۵۸۱    | نیاز زیست محیطی - بالادست بند انحرافی تجن (میلیون متر مکعب) |
| ۷۰     | راندمان بخش کشاورزی (درصد)                                  |
| ۲/۵    | نیاز شرب سد شهید رجایی (میلیون متر مکعب در ماه)             |
| ۰/۶    | نیاز شرب سد فیسنک (میلیون متر مکعب در ماه)                  |
| ۳/۹    | نیاز شرب سد زارم (میلیون متر مکعب در ماه)                   |
| ۱      | نیاز صنعت سد شهید رجایی (میلیون متر مکعب در ماه)            |
| ۰/۵    | نیاز صنعت سد زارم (میلیون متر مکعب در ماه)                  |
| ۷۰     | عمق آبخوان (متر)  |

## ارزیابی مدل

صحت‌سنجی مدل بیشتر به دنبال بررسی سودمند بودن مدل بر اساس مسئله و اهداف است. همچنین درجه اطمینان از صحت مدل به دید مدلساز بر اساس مدل دینامیکی طراحی شده و اهداف مورد نظر مدلساز از مدل وابسته است. لذا از آزمون‌های صحت‌سنجی ارزیابی ساختار، آزمون تکرار رفتار استفاده شد. در بررسی این آزمون‌ها نتایج مقادیر شبیه‌سازی شده با مقادیر واقعی با استفاده از دو روش ترسیمی و شاخص‌های آماری نظیر ضریب همبستگی (R)، جذر میانگین مربعات خطا (RMSE)، میانگین مربعات خطای نرمال (nRMSE)، استفاده می‌شود (روابط ۱۵-۱۴). بدین ترتیب که ابتدا ضریب اصلاحی مخزن و متعاقباً ضرایب اصلاحی نیاز کشاورزی برای دشت آبخور سد زارم برای مدل وارد شده و در نهایت با مقایسه تراز سطح مخزن زارم با نتایج واقعی در طی سال‌های آماری مدل مورد اعتبارسنجی قرار گرفته و از سویی دیگر می‌توان برای منطقه مورد مطالعه ضریب اصلاحی مخزن و نیاز کشاورزی مطلوبی را نیز ارائه نمود.

(رابطه ۱۴)

$$RMSE = \sqrt{\frac{\sum_{i=1}^n (S_i - O_i)^2}{n}}$$

(رابطه ۱۵)

$$nRMSE = RMSE / O \times 100$$

## نتایج و بحث

### نتایج واسنجی مدل

به منظور ارزیابی نتایج مدل، رفتار مدل با رفتار مرجع مقایسه شد. یکی از متغیرهایی که صحت‌سنجی آن بررسی

جدول ۳- نتایج ارزیابی شبیه‌سازی حاصل از مدل VENSIM

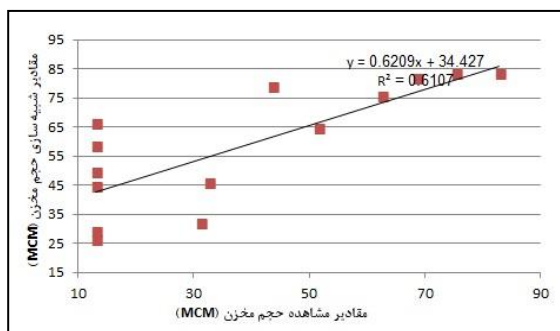
Table 3. Result of evaluation of VENSIM Model

| Zr0= 0.75<br>Agri coe= 1.5 | Zr0= 1.8<br>Agri coe= 0.8 | Zr0= 1.2<br>Agri coe= 2.8 | Zr0= 1.2<br>Agri coe= 2.5 | Zr0= 1.1<br>Agri coe= 3 | Zr0= 3<br>Agri coe= 4 | Zr0= 3<br>Agri coe= 4 | Zr0= 3<br>Agri coe= 5 | Zr0= 3<br>Agri coe= 6 | Zr0= 3<br>Agri coe= 5.5 | Zr0= 3<br>Agri coe= 3.5 | Zr0= ۲<br>Agri coe= 4 | Zr0= 0.96<br>Agri coe= 2.9 | پارامترهای<br>ارزیابی |
|----------------------------|---------------------------|---------------------------|---------------------------|-------------------------|-----------------------|-----------------------|-----------------------|-----------------------|-------------------------|-------------------------|-----------------------|----------------------------|-----------------------|
| ۰/۱۳                       | ۰/۰۸                      | ۰/۰۷                      | ۰/۰۷                      | ۰/۰۸                    | ۰/۰۹                  | ۰/۰۹                  | ۰/۰۸                  | ۰/۰۹                  | ۰/۰۹                    | ۰/۰۸                    | ۰/۰۹                  | ۰/۰۸                       | RMSE<br>(m)           |
| ۲۰                         | ۱۲                        | ۱۱                        | ۱۱                        | ۱۲                      | ۱۳                    | ۱۳                    | ۱۲                    | ۱۴                    | ۱۴                      | ۱۳                      | ۱۳                    | ۱۲/۱۷                      | nRMSE<br>(%)          |

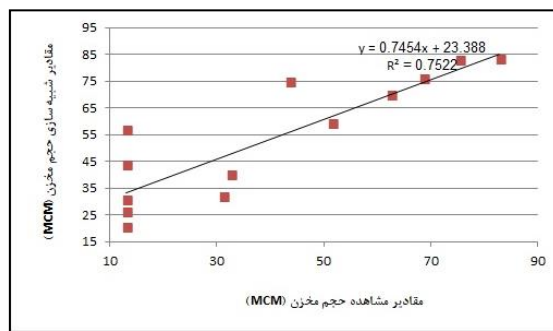
مخزن و نیاز آبی به ترتیب ۱/۸ و ۰/۸ مشاهده شد که میزان RMSE و nRMSE آن به ترتیب ۰/۰۸ متر و ۱۲٪ محاسبه شد. سایر نقاط نیز تغییرات اندکی نسبت به این ضرایب پیشنهادی داشته است.

در شکل ۳ نمودار یک به یک نقاطی که برای تعیین بهترین ضریب اصلاحی مخزن و نیاز کشاورزی به مدل وارد شد، ارائه شده است. از بین نقاط مختلفی که به عنوان ضرایب اصلاحی ورودی به مدل وارد شد، بهترین نتایج در ضرایب اصلاحی

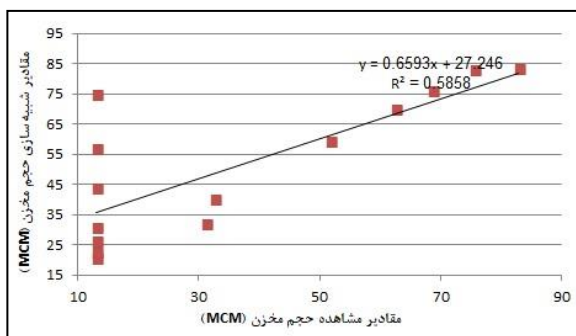
شد و در تحلیل نتایج این تحقیق از اهمیت بسیار زیادی نیز برخوردار است، تراز آب مخزن و چگونگی تغییرات آن در طی فصل رشد می‌باشد. بر همین اساس پارامتر ضریب اصلاحی مخزن در طی سال‌های آماری مورد ارزیابی قرار گرفت تا بتوان از یک سو هم چگونگی رفتار مدل را نسبت به شرایط مرجع سنجید و هم از سویی دیگر برای منطقه مورد مطالعه، ضریب اصلاحی برای نیاز آبی محصولات کشاورزی پیشنهاد داد تا بتوان از آن برای تحقیقات آبی در این محدوده استفاده نمود. بدین ترتیب که با تغییر ضریب اصلاحی مخزن و نیاز کشاورزی، رفتار مخزن در شبیه‌سازی تخصیص مورد مقایسه قرار گرفت. نتایج ارزیابی مدل در جدول ۳ نشان داده شده است. بررسی نتایج جدول زیر نیز نشان می‌دهد که این دو ضریب به طور مستقل از هم بوده و هیچ تاثیری روی هم ندارند، بدین ترتیب که نمی‌توان با تغییر یکی از آنها، چگونگی تغییر دیگری را دریافت. لذا برای برآورد رقم دقیق هر کدام از ضرایب باید به نمودار یک به یک آنها مراجعه نمود که در شکل ۳ نشان داده شده است. از سویی دیگر، از آنجایی که هر چه رقم RMSE به عدد صفر نزدیک باشد، بهترین تطابق بین مقادیر شبیه‌سازی و مشاهده‌ای وجود دارد. بررسی nRMSE نیز روند معکوسی داشته است. به طوری که همواره بیشتر از ۱۰٪ و یا نزدیک به آن (حدوداً ۱۲٪) بوده و از این میزان فراتر نرفته که آنرا در محدوده خوب تا عالی قرار می‌دهد (۱۹) و به جز ۰/۷۵ Zr0= و agri coe= ۱/۵، nRMSE برابر با ۲۰٪ برآورد شده که آنرا در رده خوب جای می‌دهد. در نهایت می‌توان چنین نتیجه گرفت در صورتیکه ضرایب اصلاحی مخزن و نیاز آبی در این محدوده باشد، نتایج قابل قبولی به دست خواهد آمد. در جدول ۳، منظور از Zr0 ضریب اصلاحی مخزن زارم و agri coe ضریب اصلاحی کشاورزی در منطقه زارم است.



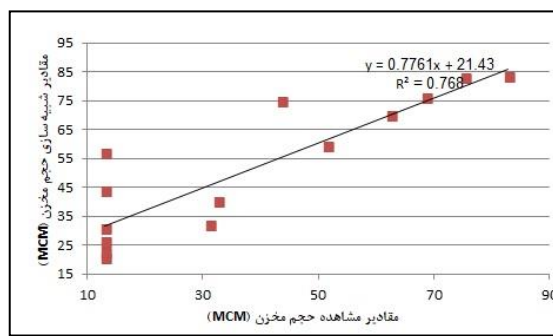
الف:  $Zr0 = 0.6209$  و  $agri\ coe = 0.6209$



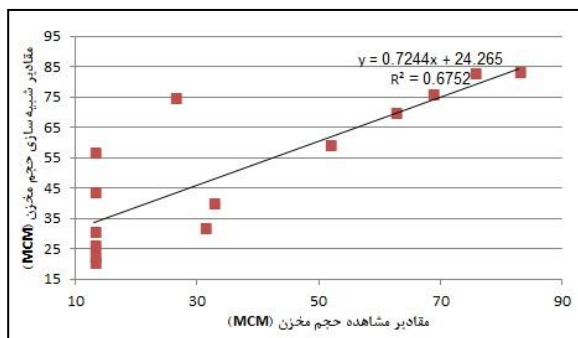
ب:  $Zr0 = 0.7454$  و  $agri\ coe = 0.7454$



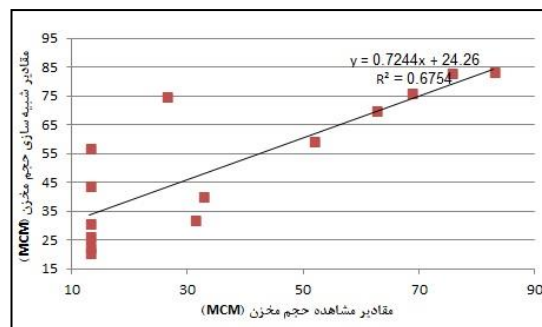
ج:  $Zr0 = 0.6593$  و  $agri\ coe = 0.6593$



د:  $Zr0 = 0.7761$  و  $agri\ coe = 0.7761$



ه:  $Zr0 = 0.7244$  و  $agri\ coe = 0.7244$



و:  $Zr0 = 0.7244$  و  $agri\ coe = 0.7244$

شکل ۳- نمودارهای یک به یک پارامترهای مورد بررسی  
Figure 3. Figures of evaluated parameters

مخازن و بالادست آنها در طی سالهای ۹۴-۱۳۴۲ و به طور همزمان لحاظ گردید. شکل ۴ دیاگرام منابع و مصارف حوضه آبریز تجن را به طور شماتیک نشان می دهد.

نتایج شبیه سازی تخصیص منابع آب در حوضه آبریز تجن با استفاده از مدل VENSIM به منظور بررسی وضعیت منابع و مصارف حوضه آبریز تجن، مدل VENSIM اجرا شد که در اجرای مدل مذکور، تمامی



جدول ۴- شبیه‌سازی تخصیص منابع آب در حوضه آبریز تجن

Table 4. summary of water allocation in TID

| توضیحات                                      | رودخانه تجن در محل سد<br>فیسنگ (MCM) | رودخانه تجن در محل سد<br>رجایی (MCM) | رودخانه تجن در محل سد<br>شهید زارم (MCM) | رودخانه تجن در محل بند<br>انحرافی تجن (MCM) |
|--|--------------------------------------|--------------------------------------|--|---|
| ورودی  | ۳۲                                   | ۱۸۲                                  | ۱۴۰                                      | ۴۷۷   |
| نیاز آبی قبل از مخازن                        | ۳۳                                   | -                                    | ۸/۰۳                                     | ۵۴  |
| تامین نیاز آبی قبل از سد                     | ۱۹                                   | -                                    | ۸/۰۳                                     | ۵۴  |
| ورودی به سد                                  | ۱۷                                   | ۱۸۲                                  | ۲۴۱                                      | ۱۹۲   |
| حجم ذخیره در سد                              | ۴۹                                   | ۶۰۰                                  | ۳۵۲                                      | ۳۹۰   |
| تقاضای کشاورزی                               | ۱۸                                   | ۱۴۶                                  | ۱۰۰                                      | ۴۶۲   |
| تقاضای شرب                                   | ۲۰                                   | ۳۰                                   | ۴۷                                       | -   |
| تقاضای صنعت                                  | -                                    | ۱۲                                   | ۶  | -   |
| تقاضای محیط زیست                             | ۲۰                                   | ۵۲                                   | ۲۸                                       | ۹۹  |
| تامین کشاورزی                                | ۶                                    | ۹۳                                   | ۵۷                                       | ۱۰۴   |
| تامین شرب                                    | ۱۸                                   | ۳۰                                   | ۴۵/۷                                     | -   |
| تامین صنعت                                   | -                                    | ۱۱                                   | ۵  | -   |
| تامین زیست محیطی                             | ۱۸                                   | ۵۰                                   | ۲۵/۳                                     | ۹۷  |
| خروجی از سد بعد از تامین                     | ۱۶                                   | ۱۴۳                                  | ۷۳                                       | ۵۴  |
| تقاضای بعد از سد                             | ۲۹                                   | ۵                                    | ۵/۰۵                                     | ۴۸۳   |
| تامین بعد از سد                              | ۱۷                                   | ۵                                    | ۵  | ۳۷۷   |
| جریان اصلی رود قبل از انشعابات ورودی         | ۱۰۱                                  | ۳۲۳                                  | ۹۲                                       | ۴۳۳   |
| جریان اصلی رود بعد از تامین و انشعابات ورودی | ۹۱                                   | ۳۸۶                                  | ۱۱۷                                      | -   |
| جریان اصلی رود قبل از دریا                   | -                                    | -                                    | -  | ۳۳۳   |
| آب قابل تبادل با سایر استانها                | -                                    | -                                    | -  | ۲۴۳   |
| برداشت از آب‌بندان                           | -                                    | -                                    | -  | ۹۸  |
| برداشت از آب زیرزمینی                        | -                                    | -                                    | ۴۲                                       | ۹۱/۵  |

#### برآورد پارامترهای اقتصادی در شرایط الگوی کشت موجود و کشت بهینه

با توجه به شرایط مذکور، پارامترهای اقتصادی کشت محصولات در حوضه آبریز بررسی شد که نتایج آن در جدول ۵ آورده شده است. قیمت‌ها بر اساس نرخ مصوب سال ۱۳۹۸ برای محصولات تولیدی به ازای هر کیلوگرم می‌باشد. با توجه به جدول ۵ بیشترین و کمترین نسبت درآمد به هزینه به ترتیب متعلق به سیاه‌ریشه و گندم است. همچنین متوسط نسبت درآمد به هزینه در این منطقه، ۲/۵۲ بوده و ناشی از کشت گیاهانی نظیر جالیزها و غلات است. بایستی توجه داشت کشت این گیاهان علاوه بر نیاز آبی کم، برای رفع احتیاجات کشاورزان نیز می‌باشد که لزوم کاشت آنها را در منطقه اجتناب ناپذیر می‌نماید.

همچنین بررسی نتایج نشان می‌دهد که با توجه به کمبودهای قابل ملاحظه‌ای که در هر یک از مناطق مشاهده می‌شود، تقریباً ۳۳۳ میلیون متر مکعب آن به دریا می‌ریزد و از طرفی دیگر تنها ۲۴۳ میلیون مترمکعب از این حجم قابل توجه قابل انتقال به سایر استان‌ها و یا مناطق دیگر خارج از حوضه آبریز می‌باشد. همچنین بررسی اجمالی جدول ۴ نشان می‌دهد که در حوضه آبریز تجن نیازهای شرب، صنعت و زیست محیطی تا حد قابل توجهی تامین شده است. به‌طوریکه از مجموع ۹۷ میلیون متر مکعب نیاز شرب، ۹۴ میلیون متر مکعب تامین شده است. همچنین با توجه به تقاضای ۱۸ میلیون متر مکعب صنعت و ۱۹۸ نیاز در بخش زیست‌محیطی، به ترتیب ۱۶/۵ و ۱۹۱ میلیون متر مکعب تامین شده است و در هر کدام این تقاضا بیش از ۹۵٪ قابلیت تامین صورت پذیرفته است.

## جدول ۵- پارامترهای اقتصادی برای سناریوی مرجع (میلیون ریال)

Table 5. Economic parameter for present scenario (Mrial)

| شرایط موجود    | درآمد  | هزینه  | درآمد به هزینه | محصول زراعی |
|----------------|--------|--------|----------------|-------------|
| مرکبات         | ۱۶۹۱۰  | ۷۲۳۰   | ۲/۳۳           |             |
| سیاه ریشه      | ۸۲۵۸۲۶ | ۱۶۴۳۴۸ | ۵/۰۲           |             |
| شالی           | ۲۴۴۷۸۲ | ۱۰۳۸۲۰ | ۲/۳۵           |             |
| جالیز          | ۲۹۲۲۱۰ | ۱۴۴۴۷۹ | ۲/۰            |             |
| دانه‌های روغنی | ۳۷۲    | ۱۶۹    | ۲/۲            |             |
| ذرت دانه‌ای    | ۴۰     | ۱۶     | ۲/۵            |             |
| ذرت علوفه‌ای   | ۴۹۳۴۴  | ۲۶۶۰   | ۱/۸۵           |             |
| گندم           | ۱۹۴۶۶  | ۱۰۵۲۷  | ۱/۸۴           |             |
| حبوبات         | ۲۲۲/۰۴ | ۸۰     | ۲/۸            |             |

دانه‌ای حداکثر سطح زیر کشت مجاز را به خود اختصاص داده‌اند. بالادست سد شهید رجایی نیز کمترین نسبت درآمد به هزینه را به خود اختصاص داده است و این مسئله می‌تواند ناشی از این امر باشد که مدل بهینه‌سازی، سطح زیر کشت محصول گندم را تا حد زیادی افزایش داده است. در این منطقه با توجه به کمبودهای قابل ملاحظه‌ای که در تخصیص منابع آب قابل مشاهده است، کشت گندم می‌تواند در صرفه جویی منابع آب موثر باشد. از طرفی دیگر بررسی الگوی پیشنهادی بهینه نشان می‌دهد که تقریباً تمامی سطح زیر کشت محصولات به‌جز درختان میوه که دارای محدودیت حفظ سطح کشت باغات بودند، صفر در نظر گرفته شده و همین مسئله موجب کاهش چشمگیر نسبت درآمد به هزینه در این بخش شده است.

پس از اجرای برنامه بهینه‌سازی لینگو و قیمت محصولات طبق مصوب سال ۱۳۹۸، نتایج زیر مطابق با جدول زیر برای هر مناطق بالادست مخازن بدست آمد. در این سناریو که براساس افزایش سوددهی به نفع آب منطقه‌ای است، تخصیص منابع آب به تقاضاها صورت گرفت. در این سناریو محدودیت حفظ مزارع باغی، محدودیت سطح زیر کشت و محدودیت منابع آب در نظر گرفته شده است. از این میان بیشترین درآمد به هزینه مربوط به سد فیسنک و کمترین نیز مربوط به سد شهید رجایی است. بررسی جدول ۶ نشان می‌دهد که نسبت درآمد به هزینه برای منطقه فیسنک بیشترین میزان بوده که طبق الگوی کشت بهینه پیشنهادی حبوبات، دانه‌های روغنی، جالیز، گندم، شالی و ذرت دانه‌ای تقریباً صفر محاسبه شده ولی سیاه ریشه، مرکبات و ذرت

## جدول ۶- برآورد درآمد به هزینه مناطق بالادست سد‌ها در شرایط سناریوی سودآوری آب منطقه‌ای

Table 6. Income to cost of upstream region of dams in beneficial Scenario for RW

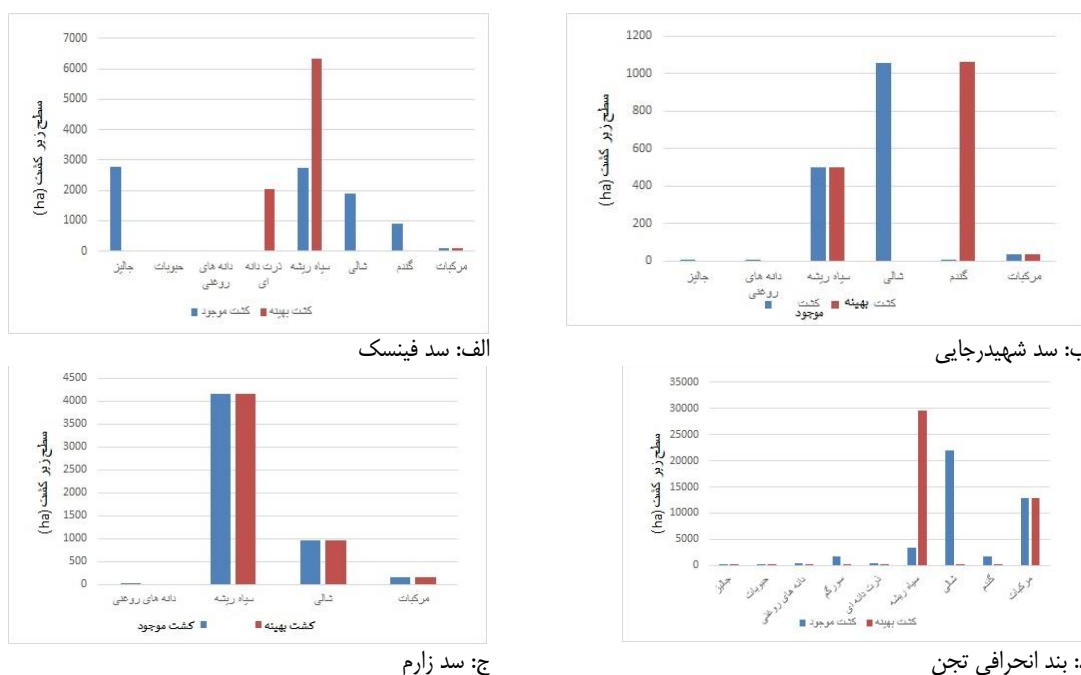
| سد فیسنک | سد شهید رجایی | سد زارم | بند انحرافی تجن | درآمد به هزینه |
|----------|---------------|---------|-----------------|----------------|
| ۴/۷      | ۳/۹           | ۴/۴     | ۴/۰۷            |                |

می‌دهد که مدل با توجه به حفظ میزان حجم آب تخصیص یافته، همواره تمایل به کاهش سطح زیر کشت محصولات با درآمد به هزینه پایین و افزایش سطح زیر کشت محصولات با درآمد به هزینه بالا دارد. همچنین بررسی اجمالی شکل ۵ نشان می‌دهد که سطح زیر کشت دانه‌های روغنی و حبوبات در الگوی کشت بهینه صفر برآورد شده است، چنین روندی کم و بیش در مورد محصول شالی نیز صادق است. به‌طوریکه در بالادست سد، سطح زیر کشت آن یا به صفر کاهش یافته یا لاقلاً مساوی شرایط موجود در نظر گرفته شده است. باید توجه داشت که این دو محصول نیاز آبی کمتری و از سویی دیگر درآمد به هزینه تقریباً بیشتری نسبت به برنج در این منطقه دارند، همچنین عملکرد نسبتاً پایین دارند که ۲۶۰۰ کیلوگرم در هکتار گزارش شده است. از طرفی دیگر برنج که هم نیاز آبی بیشتری دارد و هم تنها ۰.۶٪ نسبت درآمد به هزینه آن در مقایسه با دانه‌های روغنی بیشتر است، عملکردی تقریباً دو برابر آنها (۵۲۴۰ کیلوگرم در هکتار) دارد و علت کاهش سطح زیر کشت آنها نسبت به برنج نیز همین عملکرد آنها است. لذا در فیسنک، شهید رجایی و بند انحرافی

شکل ۵ الگوی کشت بهینه پیشنهادی توسط مدل را با الگوی کشت اجرا شده نسبت به سناریوی مرجع مقایسه می‌کند. آنچه از مشاهده این تصاویر استنباط می‌شود این است که در بیشتر این مناطق سطح زیر کشت مرکبات ثابت بوده و برای درختان سیاه‌ریشه یا افزایش یافته (بالادست بند انحرافی تجن و سد فیسنک) یا ثابت مانده است. بالاترین سطح زیر کشت برای این محصول برای بالادست سد فیسنک و بند انحرافی تجن به ترتیب ۶۳۳۰ و ۲۹۶۱۰ هکتار است، طبق نمودار و جدول زیر حداکثر سطح زیر کشت مجاز به آنها اختصاص داده شده است. در توجیه آن می‌توان چنین بیان داشت که سیاه‌ریشه با داشتن بالاترین نسبت درآمد به هزینه (۵/۰۲) سودآورترین محصول نسبت به دیگر محصولات در منطقه‌اند. بر همین اساس، افزایش سطح زیر کشت آنها می‌تواند بیشترین عملکرد را در جهت تامین هدف، که حداکثرسازی نسبت درآمد به هزینه است، داشته باشند. مقدار درآمد به هزینه باقی محصولات بین ۱/۸۴ تا ۲/۸ متغیر است و سطح زیر کشت آنها نسبت به حالت موجود تا حداکثر میزان ممکن کاهش یافته است. از سویی دیگر بررسی شکل ۵ نشان

اختصاص داده است (نسبت درآمد به هزینه ۲). بر همین اساس برای دستیابی به بالاترین درآمد به هزینه بایستی سطح زیر کشت گیاهانی که درآمد به هزینه کمتری دارند کاهش یابد. چنین روندی به طور معکوس در مورد ذرت دانه‌ای نیز صادق است زیرا این گیاه نیاز آبی کمی داشته ولی عملکرد و نسبت درآمد به هزینه نسبتاً مطلوبی در مقایسه با سایر محصولات که سطح زیر کشت آنها صفر شده دارد (به ترتیب ۷۰۰۰ کیلوگرم در هکتار و ۲/۵) بر همین اساس مدل تمایل به افزایش سطح زیر کشت و در نتیجه دستیابی به سودآوری بیشتر دارد. همچنین باید توجه داشت که در بالادست فینسک برای دستیابی به حداکثر درآمد به هزینه در مقایسه با سایر مناطق، کاشت محصولاتی نظیر ذرت دانه‌ای، سیاه‌ریشه و مرکبات با نسبت درآمد به هزینه بالا، تاثیر بسزایی در افزایش درآمد به هزینه کلی این منطقه دارد.

تجن سطح زیر کشت برنج تقریباً برابر با صفر در نظر گرفته شده و تنها در بالادست زارم، سطح زیر کشت تقریباً برابر با شرایط موجود بود. در مورد گندم هم باید توجه داشت که نیاز آبی نسبتاً کمتری به نسبت سیاه‌ریشه، مرکبات و برنج که به ترتیب عملکرد ۲۰۰۰۰، ۳۰۰۰۰ و ۵۲۴۰ کیلوگرم در هکتار گزارش شده، دارد و به طور موازی، کمترین درآمد به هزینه را نیز به خود اختصاص داده که در مقایسه به سه محصول یاد شده، عملکرد بسیار کمتری دارد (۳۰۰۰ کیلوگرم در هکتار). بر همین اساس، در بالادست سد فینسک، سطح زیر کشت آن نسبت به حالت مرجع کاهش یافته است. کشت جالیز نیز در تمامی مناطق تقریباً برابر صفر در نظر گرفته شده است. بایستی توجه داشت که از یک سو عملکرد این محصول نسبت به سایر محصولات بیشترین میزان ثبت شده را دارد (۳۵۰۰۰ کیلوگرم در هکتار) و از سوی دیگر با توجه به کم بودن نیاز آبی آن، درآمد به هزینه نسبتاً کمی را به خود



شکل ۵- الگوی کشت بهینه مدل و موجود  
 Figure 5. Optimization cropping pattern in present and scenario

منابع آب صورت گیرد. همچنین نتایج نشان داد که از مجموع ۱۰۴۴ میلیون مترمکعب کل تقاضا، ۶۲۰ میلیون مترمکعب آن تامین شده است. بخش کشاورزی با تقاضایی معادل ۷۳۰ میلیون مترمکعب، ۴۳٪ رهاسازی سد را به خود اختصاص داده است. اگرچه کمبودهای قابل ملاحظه‌ای در این بخش مشاهده شده و ۴۴٪ نیازها به صورت تامین نشده باقی مانده است، اما مخازن در حوضه آبریز تا حد قابل ملاحظه‌ای تقاضای شرب، صنعت و زیست‌محیطی را تامین نموده‌اند. در این میان سهم آب‌بندان که تنها محدود به پایاب بند انحرافی تجن است، ۹۸ میلیون مترمکعب و آب زیرزمینی نیز ۹۱/۵ میلیون مترمکعب است. همچنین نتایج تعیین الگوی کشت بهینه نیز نشان داد که سیاه‌ریشه با بالاترین نسبت درآمد به

نتایج حاصل از واسنجی مدل نشان داد که در صورتی که ضرایب اصلاحی مخزن و نیاز آبی به ترتیب ۱/۸ و ۰/۸ در مدل منظور شود، میزان RMSE و nRMSE آن به ترتیب ۰/۰۸ متر و ۱۲٪ برآورد می‌شود. نتایج شبیه‌سازی با مدل VENSIM نشان داد کمبودهای قابل ملاحظه‌ای در بخش کشاورزی مشاهده شده است. این مسئله باید از دیدگاه دیگری مورد توجه قرار گیرد و آن نحوه مدیریت دهانه آبرگیر شبکه و کانال‌های ساخته شده است که با توجه به گستردگی مناطق تحت پوشش از یک سو و از سوی دیگر تنوع حقایق بران، بایستی تجدید نظر اساسی در این مورد صورت گیرد. در غیر این صورت تغییر الگوی کشت تنها می‌تواند به سودآوری کمک نموده بدون آنکه تغییری در نحوه تخصیص

هزینه از عمده‌ترین محصولاتی است که در تمامی مناطق به کشت آن ادامه داده شده و حتی در مناطقی نظیر پایاب بند انحرافی تجن و فینسک مقدار آن به بیش از ۶۰٪ و ۲۵٪ افزایش یافته است. از این میان دانه‌های روغنی و حبوبات با توجه به عملکرد نسبتاً پایین و نیاز آبی قابل توجه نسبت به سایر محصولات از الگوی کشت حذف شده است.

## منابع

- Allen, R.G., L.S. Pereira, M. Smith, D. Raes, J.L. Wright. 2005. FAO-56 dual crop coefficient method for estimating evaporation from soil and application extensions. *J. Irrig. Drain. Eng.*, 131: 2-13.
- Chapman, A., S. Darby. 2016. Evaluating sustainable adaptation strategies for vulnerable mega-deltas using system dynamics modelling. *Sci. Total Environ*, 559: 326-338.
- Ford, A., 1999. *Modeling the Environment: An Introduction to System Dynamics Modeling of Environmental Systems*. 2nd. edn. Island Press, Washington, DC.
- FAO. 2002. *Yield Response to Water: the Original FAO Water Production Function*.
- Forrester, J.W., 1961. *Industrial Dynamics*. MIT Press Cambridge, MA.
- Hassanzadeh, E. 2016. *Integrated management of water resource systems under changing water availability, policy, and irrigation expansion plans*. A thesis submitted to the college of graduate studies and research in partial fulfillment of the requirements for the degree of doctor of philosophy in the department of civil and geological engineering university of saskatchewan Saskatoon.
- Inam, A., J. Adamowski, J. Halbe, P. Shiv. 2015. Using causal loop diagrams for the initialization of stakeholder engagement in soil salinity management in agricultural watersheds in developing countries: A case study in the Rechna Doab watershed, Pakistan. *Journal of Environmental Management*, 152: 251-267.
- Jeong, H., J. Adamowski. 2016. A system dynamics based socio-hydrological model for agricultural wastewater reuse at the watershed scale. *Agricultural Water Management*, 171: 89-107.
- Kotir, J.H., C. Smith, G. Brown, N. Marshall and R. Johnstone. 2016. A system dynamics simulation model for sustainable water resources management and agricultural development in the Volta River Basin, Ghana. *Science of the Total Environment*, 573: 444-457.
- Liu, H., G. Benoit, T. Liu, Y. Liu, H. Guo. 2015b. An integrated system dynamics model developed for managing lake water quality at the watershed scale. *J. Environ. Manag*, 155: 11-23.
- Li, Z., C. Li, X. Wang, C. Peng, Y. Cai, W. Huang. 2018. A hybrid system dynamics and optimization approach for supporting sustainable water resources planning in Zhengzhou City, China. *J. of Hydrology*, 556: 50-60.
- Mirchi, A., D. Watkins Jr. 2013. A systems approach to holistic total maximum daily load policy: case of Lake Allegan, Michigan. *J. Water Resour. Plan. Manag*, 139: 544-553.
- Madani, K. and M.A. Mariño. 2009. System dynamics analysis for managing Iran's Zayandeh- Rud river basin. *Water Resour. Manage*, 23: 2163-2187.
- Manos, B., J. Papathanasiou, T. Bournaris and K. Voudouris. 2010. A multicriteria model for planning agricultural regions within a context of groundwater rational management. *Journal of Environmental Management*, 91: 1593- 600.
- Mokhtari Motlagh, P., H. Sharifan. 2010. Evaluation of optimize crop pattern by Lingo (Hana-Samirom). First conference of Iran Irrigation and Drainage, (In persian).
- Nozari H., V. Mohseni. 2012. Applying System Dynamics Approach for Simulation and Optimization of the Cropping Pattern in Esfahan Right Side Abshar Irrigation and Drainage Network. *Iran Water and Soil researches*, 36: 465-474.
- Paudyal, G. and A. Dasgupta. 1990. A nonlinear chance constrained model for irrigation planning. *Agric. Water Manage*, 18(2): 87-100.
- Rao, N.H., P.B.S. Sarma and S. Chander. 1996. Optimal multicrop allocation of seasonal and intraseasonal irrigation water. *Water Resource Res.*, 26: 551-559.
- Stave, K.A. 2003. A system dynamics model to facilitate public understanding of water management options in Las Vegas, Nevada. *Journal of Environmental Management*, 67: 303-313.
- Sahin, O., R.A. Stewart, M.G. Porter. 2016. Water security through scarcity pricing and reverse osmosis: a system dynamics approach. *J. Clean. Prod*, 88: 160-171.
- Shahnazari, A. 2010. The report of Integrated water planning and DSS of demands and resources of Tajan Plain, (In Persian).
- Sepaskhah, A.R. and A. Parand. 2006. Effects of alternate furrow irrigation with supplemental very furrow irrigation at different growth stages on the yield of maize (*Zea mays L.*). *Plant Production Science*, 9(4): 415-421.
- Shangguan, Z., M. Shao and R. Horton. 2002. A model for regional optimal allocation of irrigation water resources under deficit irrigation and its applications. *J. Agric. Water Manage*, 52: 139-154.
- Sabaghi, M., A. Shanazari, A.N. Ziiai. 2019. Simulation and Operation Evaluation of Shahid Yaghoobi Dam by using System Dynamic (Case study: Dam Shahid Yaghoobi). *Journal of Watershed Management Research*, 8(16): 188-199 (In Persian).
- Tennant, D.L. 1976. Instream flow regimens for fish, wildlife, recreation and related environmental resources. *Fisheries*, 1: 6-10.

## Evaluation of Optimal Cropping Pattern in Tajan Watershed with Systematic Modeling

Seyed Fatemeh Hashemi<sup>1</sup>, Ali Shanazari<sup>2</sup>, Mahmood Rayini<sup>3</sup>, Mohammada Shahbazbegian<sup>4</sup> and Jan Franklin Adamowski<sup>5</sup>

---

1- Ph.D. Student, of Water Engineering, Sari Agricultural Sciences and Natural Resources University

2- Professor of Water Engineering, Sari Agricultural Sciences and Natural Resources University

(Corresponding author: aliponh@yahoo.com)

3- Professor of Water Engineering, Sari Agricultural Sciences and Natural Resources University

4- Assistant Professor Geography and Spatial Planning Department at Tarbiat Modares University, Tehran, Iran

5- Associate Professor, Department of Bioresource Engineering, McGill University

Received: October 22, 2019

Accepted: December 24, 2019

---

### Abstract

Since in the optimal allocation of water resources, the maximization of income, is the main purpose of modeling, researches in this case is just limited to approaches rooted in linear and structures in mental model or causes the inequitable resources allocation. Also, evaluation of these researches showed that there is low knowledge about long term dynamics behavior in river watershed. In this regard, in this study, evaluation of optimal cropping pattern based on water resources and demand in Tajan watershed by VENSIM in 1962- 2012 in monthly times step was carried out which domestic, industrial, environmental and agricultural demand were taken into account. This optimal cropping pattern could be the basis for water productivity in Tajan watershed. The calibration results showed not only outflow of dams is related to demands, but also dams coefficient is independent from agricultural demands coefficient. Also the results showed that large amount of domestic, industrial and environmental demand in this region is supplied and dams in Tajan watershed is enough for suppling. But there is significant deficit in agricultural part that regarding to low volume of groundwater in this region, changing crop pattern s inevitable. O the other hand, evaluation of optimal crop pattern is showed that orchards with maximum income per cost in the all region, is dedicated the most *cultivated land area* and after that citrus have second priority.

**Keywords:** Income to Cost, Nonlinear Optimization, Tajan Watershed, VENSIM, Water Demand and Resources Allocation